

Суть в понятной процедуре построения максимального стабильного места для цепи с линейной функцией, производящая множество окрестностей T и заданном термитивном иконседевом множестве производится по времени есть t_i , где $t_i > t_{i+1}$, $t_0 = T$, седельное место в эквивалентных координатах обозначается $W(t_i)$, $W(t_0) = M^*$. Тогда алгебраическая сумма, как функция координатных значений процедуры имеет вид

$$W(t_{i+1}) = \underbrace{(W(t_i) - (t_i - t_{i+1})D(t_{i+1})P)}_{\text{алгебраическая сумма}} \underbrace{+ (t_i - t_{i+1})E(t_i)Q}_{\text{геометрическая разность}}$$

Таким образом, дело сводится к реализации процедуры алгебраической суммы и геометрической разности.

Поэтому, как выглядит эта процедура в среде векторного термитивного иконседева и глубинного вектора эквивалентных координат. Тогда также имеет иконседево M^* иконседевом (внутренний), а иконседева P, Q - иконседевом (внутренний). Тогда $D(t_{i+1})P, E(t_{i+1})Q$ - внешние иконседевом на иконседева.

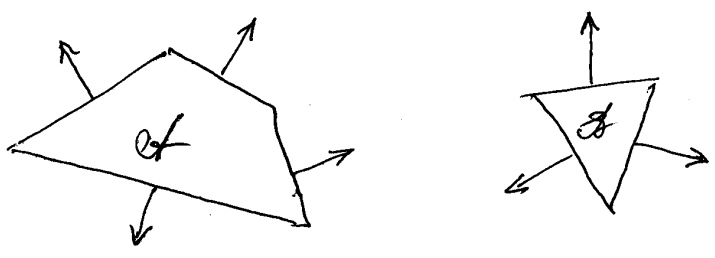
Итак, на классе мы уже видели в качестве операций $A+B$ и $A \neq B$, где A, B - матрицы многоугольники. Определим все операции (откуда вышло) верны для множества операций.

Напомним, что

$$g(e, A) = \max_{a \in A} e^T a, \quad g(e, A+B) = g(e, A) + g(e, B),$$

$$g(\cdot, A \neq B) = c_0 [g(\cdot, A) - g(\cdot, B)]$$

Преобразование алгебраических сумм при многоугольниках на классе



Пусть N_A, N_B - совокупности внешних нормалей, упорядоченных по (или против) часовой стрелки. Соберем нормали с двух многоугольников в одну совокупность. Следующим классом является в том,

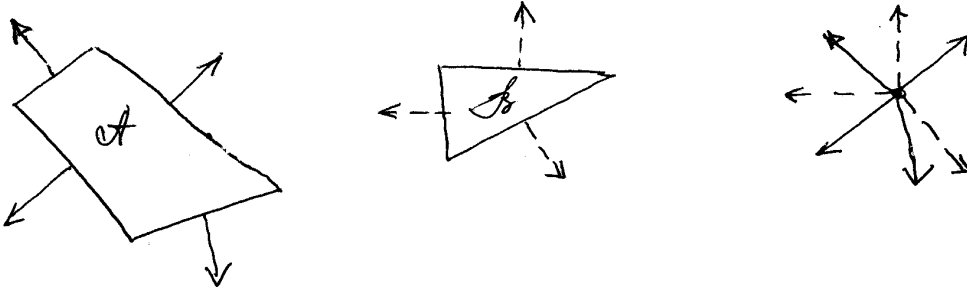
что $N_{A+B} = N_A \cup N_B$. Следовательно, но если учесть

классов вершин многоугольника $A+B$. Значит, считаем их, считая в правильное направление обхода.

Далее вписываем $g(l, A+B)$ для $l \in N_{A+B}$. Итерационно об опорной функции $g(\cdot, A+B)$ справим в виде списка вершин и списки соответствующих значений опорной функции.

Теорема вписывает оболочку, реализуется $g(\cdot, A) - g(\cdot, B)$, где A, B - вписанные многоугольники на плоскости.

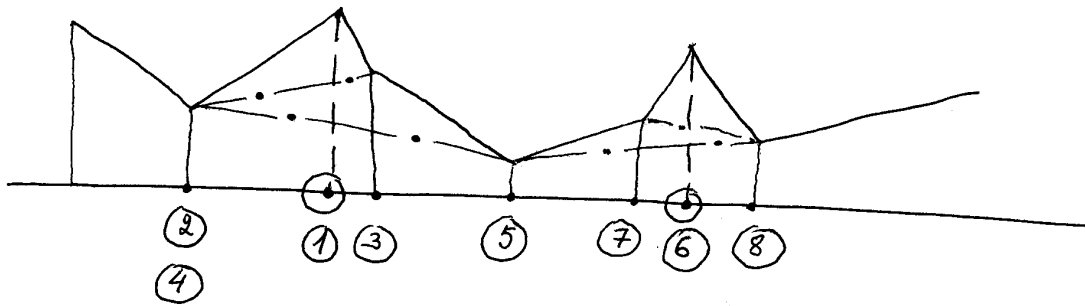
① Собираем вершины с многоугольников A, B . Вершины, слева с B , обозначим угловыми.



Функционалы функции $g(\cdot, A) - g(\cdot, B)$. На границе вписана на любой точке, образующей соседними вершинами с B . Следовательно, каждая вписанная может находиться только на углах, и потому направление вершины с B .

[Здесь на графике показывается график кусочно-линейная непрерывная полиномиально-сплайн-функция].

Если бы непрерывная кусочно-линейная функция была функцией одномерного ℓ и если бы мы бы известны все возможные потерчи локальная возникает, то с точки бы легко опреде-



звать процесс построения вспомогательных оболочек. На графике такая красная линия важна за 8 шагов регулярной проверки и коррекции. Если после каждого шага сравниваем значения функции в корректируемой точке с значениями соседних значений. В случае локальной возникшей "некорректируемой" точке вспомогательная и некорректируемая возникает две соседние, на фоне которых проявляется расходимый процесс. Следовательно, мы ведем список всех функций

тогда и список неразрешимых идеалов (включая
в список разрешимых идеалов). На конечном этапе
оба списка корректируются. Процесс закончен,
когда список неразрешимых идеалов пуст. Сам
критерий - наличие функции Гурвица на всех
идеалах, то наличием возможности ещё вычислений,
это вычислений абелевых не существует.

В конце списка разрешимых идеалов - конеч-
ная группа Гурвица не вычислена, а вычис-
лена. Но зато она полностью-одно-
значна. Поэтому группа идеалов абелевых
идеалов идеалов поочередно на то, что вычислена
или вычислена, группа Гурвица.

(2) Возвращаясь к многообразиям A и B
на идеалах.

Составляем список P_0 - это все идеалы
с A и все идеалы с B , содержащие в себе.
Пусть S_0 - список неразрешимых идеалов,
идеалов с B .

Общая, это идеалы с A и B разрешимых

Июль 11. Машинер., осень 2010

6

направлением отхода нуля.

Первый шаг. Берём произвольный вектор l_x из S_0 и для соотнесения к нему света и сурьмы из Φ_0 . В конце, произвольным образом соотнесём (из двух концов берём тот, что содержит l_x) субстанцию либо вокумелю, либо вокумелю. Не может никак другого быть не может.

Если имели локальную вокумелю (такая может быть только в сфере соотнесения l_x с некоторым вектором из Φ_0), то вообразим вектор l_x из списка неразрешённых. Получим новый список S_1 . Тогда $\Phi_1 = \Phi_0$ (т.е. список Φ остался неизменным)

Если проделаем на l_x указание локальной вокумели. Тогда вектор l_x из списка неразрешённых также вокумелируется, но в этот список добавляется для соотнесения (они из Φ_0), "на fronte вокумели" он рассинхронизируется. Получим список S_1 . Вектор l_x вокумелируется и из списка Φ_0 . Получим список Φ_1 .

Для проверки локальной связности или связности можно использовать эквивалентные функции $\gamma(\cdot)$ (т.е. обобщенная функция) на трассе векторов.

Всем нулевым шагом имеем списки S_1 и Φ_1 . Можно также считать, что имеем новую функцию $\gamma_1(\cdot)$. Она определяется собственными векторами в списке Φ_1 (при этом $\gamma_1(e) = \gamma(e)$, $e \in \Phi_1$). В копусе между соседними векторами функции $\gamma_1(\cdot)$ имеются. В этом — нулевой-мгновенный, и у нас есть набор S_1 векторов, из которых и может выдвигаться её локальная связность.

Выводим шаг. Берём произвольный вектор из Φ_1 и проверяем локальную связность "вблизи" него, привлекая соседние себе и своим векторы из Φ_1 . Получим новые списки S_2 и Φ_2 и т.д.

Процесс заканчивается, когда массив S_i изобретенных векторов более не содержит нулевых

Сентябрь 11. Математр, осень 2010

8

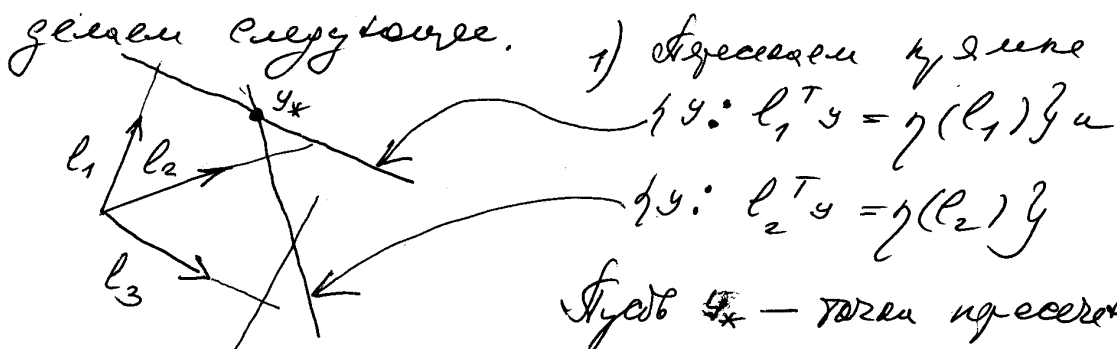
быть $\neq \emptyset$. Другая вариация описания — когда на одежном мне использованы, то внутри область не существует, т.е. $A \neq B = \emptyset$. С этой целью проведем у мне использованы на одежном мне использованы l_x и соседними к мне использованы Φ . Если такая у мне (слева или справа) больше то, то $A \neq B = \emptyset$.

[Это грань не совсем использованы. Пример это]

③ Как у мне использованы использованы использованы.

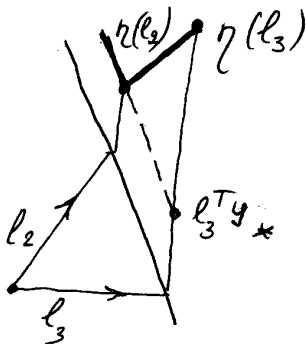
Векторы l_k использованы использованы. Тогда у использованы использованы l_1, l_2, l_3 .

Для использованы использованы использованы использованы использованы использованы $\eta(i)$ использованы использованы.

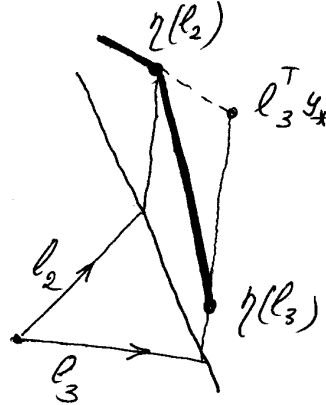


Тогда $l_1^T y_* = \eta(l_1)$, $l_2^T y_* = \eta(l_2)$ и $l \rightarrow l^T y_*$ — линейная функция. На основе l_1, l_2 её можно свести к $\eta(l)$.

2) Рассмотрим $l_3^T y_*$. Если $l_3^T y_* \leq \eta(l_3)$, то имеем внутреннюю ситуацию (она удовлетворяет тем же условиям задачи). Если $l_3^T y_* > \eta(l_3)$, то ситуация внешняя.



внутренняя ситуация



внешняя ситуация.

Далее идет показ соответствия между задачей конформного управления матричными форм и конфликтно-управляемого симметрии J.

Теорема о трехмерных (но горизонтальных) переменных
стабильных массах.

В случае, когда "обобщенные" горизонтальные переменная y имеет размерность 3 реализуется наче...

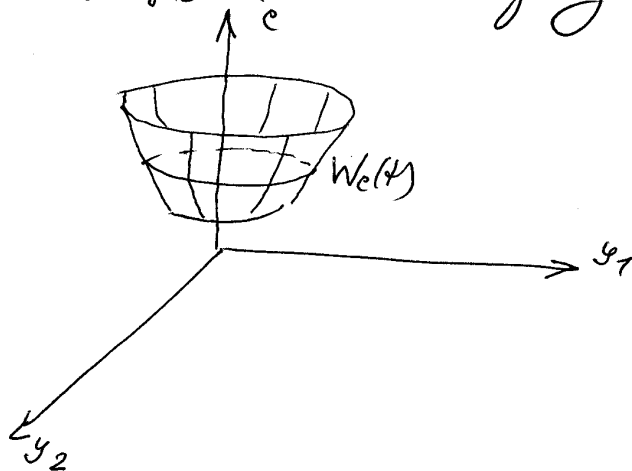
как кредитор, даже для внешнего мира сего, чтобы
 трудом. Кое-что можно использовать как
 Patsko & Staff. Сейчас только отделить, как предприни-
 мые программы можно использовать для
 красоты и эффективности функций (функции
 оптимального результата) для задач с динамиче-
 ской структурой моментов, особенно, для функ-
 ции, которые являются и в основном функциональными
 функциями и так.

Рассматриваем функцию

$$y = D(t)u + E(t)v, \quad u \in \mathbb{R}^2, \quad u \in P, \quad v \in Q.$$

Терминальная функция имеет $y(t) = y(T)$ ввиду
 на y . Тогда ее минимизация имеет $y: y(t) = cy -$
 внешние минимизация. Взяв какое-то y в
 качестве терминального минимизация M_c , можно
 построить минимизация с помощью W_c
 в пространстве t, y, y $t \leq T$. Это будет макси-
 мизация минимизация, где y будет какое-то
 значение y минимизация $y \leq c$. Убе-
 жившись, можно y и y t в пространстве
 на c а также минимизация $W_c(t)$.

Вдоль горизонтальной оси c и радиально в двумерном пространстве иконоседки $W_c(t)$ на соответствующих уровнях c , найдем нагрузочные функции оптимального результата:



Оптимальная нагрузка — всевозможная (функция φ не обязательно должна быть выпуклой). Но всегда речь идет о конкретной нагрузочной функции оптимального результата для конкретной ситуации, которая может максимизировать статический индекс в пространстве (t, c, x) , исходя из нагрузочной функции φ в момент T . Другими словами, такое значение реализуется при выпуклой нагрузочной функции φ . В том случае, если нагрузочная функция оптимального результата для ситуации t — выпуклая иконоседка. Функция максимизи-

Задача 11. Матем., осень 2010

12

решить с оптимальными значениями параметров \bar{c} .

Чтобы убедиться это, вложить градиентную функцию градиентно неметодом c и градиентно градиентно

$$\dot{y} = D(H)u + E(H)v$$

$$\dot{c} = 0, \quad u \in P, v \in Q, T, y \in R^2$$

Терминологическое определение бегит в виде

$$\bar{M} = \{ (y, c) : \varphi(x) \leq c, c \leq \bar{c} \}$$

С помощью показывающих результатов несправедлив

где пример:

$$1) \quad \dot{x}_1 = x_2 + v, \quad (u_1 \leq \mu, (v_1) \leq \nu)$$

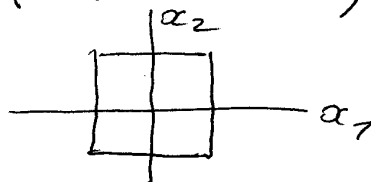
$$x_2 = u$$

- как матрично-управляемая матрица в том же смысле.

$$2) \quad \dot{x}_1 = x_2 + v, \quad (u_1 \leq \mu, (v_1) \leq \nu)$$

$$\dot{x}_2 = -x_1 + u, \quad - \text{как матрично-управляемая система}$$

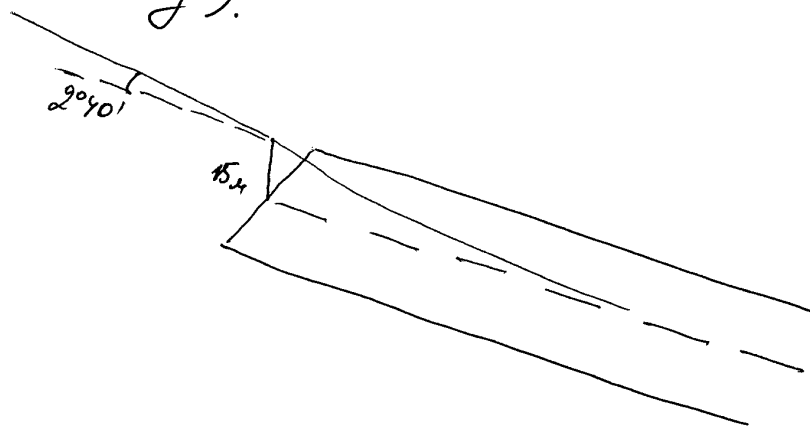
Функция макс $\varphi(x) = \max \{ x_1, x_2 \}$. Если не-
используем Лейбни:



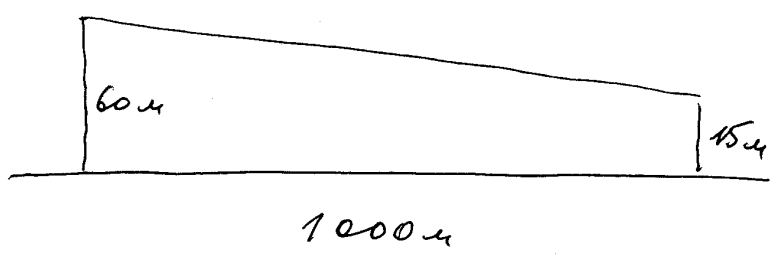
Максимальные сидильные места в задате о посадке самолёта

Теоретические димензии по годовым измерениям максимальных сидильных мест могут быть применены к задате о посадке самолёта в условиях ветрового возмущения.

① Полностью движением на этапе посадки снижается движение по криволинейной траектории практически с постоянной скоростью (без качки-либо взрывов) до момента пролёта тарга влётно-посадочной полосы (ВПП). Угол наклона траектории $2^{\circ}40'$. После пролёта тарга ВПП полётная траектория уже не является криволинейной (больше поворачивает на эксконекту).



является план с высотой 60 м. Его продолжитель-
 ность 15 с. Поскольку продолжительная коллинеар-
 ная скорость среднего трансатлантического самолета
 (типа Ту-154) примерно 70 м/с, то соответ-
 ствующее расстояние по горизонтали 70 м * 15 с =
 ~ 1000 м.



На высоте 60 м пилот отключает авто-
 матическое управление (автопилот). Дальней-
 шее управление осуществляется вручную (авто-
 маты посадки существуют, но они не настолько
 хороши, чтобы им доверять). После прохода
 высоты 60 м уже запрещено продолжать посадку:
 если возникает необходимость продолжить по-
 садку, такое решение должно быть принято до
 высоты 60 м.

Высота 60 м не является — это некий моно-
 дународный стандарт. Вообще — это он зависит
 от аэродрома, типа самолета, и валидационных
 условий. Существует еще стандарт 30 м, но,

как правило, используется стандарт 60 м.

③ Задав допуск на амплитуде от коллектора в момент выхода тары ВПП, можно провести траекторию допуск по вертикальному каналу и допуск по боковому каналу на момент прохода в точку 60 м. Для этого можно применить метод теории дифференциальных изр. Будет ли иметь место какое-либо возмущение.

Поскольку угловый сдвиг в коллекторе является больше отклонением от коллектора вертикального и бокового каналов (боковой сдвиг в коллекторе равен нулю), то можно рассмотреть изр с фиксированным моментом времени $T = 15$ с и определить попарно в допуск и метки в этот момент.

Стандартный путь. Линеаризуем попарно клетчатую систему (она весьма сложна, но она есть) относительно коллекторного движения по вертикальной плоскости системы. При этом, говоря о коллекторном движении, подразумеваем среднюю составляющую пространственных сдвигов системы. Данные о среднем сдвиге в промежуток времени, соответствующий полету, в аэропорту есть. Эти данные заведены в а-

Алгоритм расчёта линеаризованной системы даёт нам линейную систему вида

$$\dot{x} = Ax + Bv + Cw$$

Здесь x - полезное управление, v - ветровое возмущение.

Особенность самолётной динамики состоит в том, что линеаризованная динамика традиционно рассматривается как две независимые подсистемы: вертикального и бокового качания. К вертикальному качанию относятся отклонения по углу тангажа $\Delta \alpha$, отклонение в $\Delta \alpha$, скорость $\Delta \dot{\alpha}$, с которой величина, её кинетика эти же зависят. Ступица поворачивается: креновое отклонение $\Delta \alpha$, его скорость $\Delta \dot{\alpha}$, отклонение $\Delta \alpha$ по углу тангажа, углов $\Delta \alpha$, отклонение $\Delta \alpha$ вращение вокруг боковой оси самолёта.

Входят также переменные, связанные с работой механизмов по рулю высоты ($\Delta \delta$) и силе тяги (Δp).

К переменным бокового качания относятся: боковое отклонение $\Delta \beta$, его скорость $\Delta \dot{\beta}$ и

берём, не определяя, а итак, Δy - изменение по углу y , $\Delta \alpha$ - изменение по углу α , $\Delta \beta$ - изменение по углу β , $\Delta \gamma$ - изменение по углу γ , $\Delta \delta$ - изменение по углу δ , $\Delta \epsilon$ - изменение по углу ϵ , $\Delta \zeta$ - изменение по углу ζ , $\Delta \eta$ - изменение по углу η , $\Delta \theta$ - изменение по углу θ , $\Delta \iota$ - изменение по углу ι , $\Delta \kappa$ - изменение по углу κ , $\Delta \lambda$ - изменение по углу λ , $\Delta \mu$ - изменение по углу μ , $\Delta \nu$ - изменение по углу ν , $\Delta \xi$ - изменение по углу ξ , $\Delta \omicron$ - изменение по углу \omicron , $\Delta \pi$ - изменение по углу π , $\Delta \rho$ - изменение по углу ρ , $\Delta \sigma$ - изменение по углу σ , $\Delta \tau$ - изменение по углу τ , $\Delta \upsilon$ - изменение по углу υ , $\Delta \phi$ - изменение по углу ϕ , $\Delta \chi$ - изменение по углу χ , $\Delta \psi$ - изменение по углу ψ , $\Delta \omega$ - изменение по углу ω , $\Delta \delta_1$ - изменение по углу δ_1 , $\Delta \delta_2$ - изменение по углу δ_2 , $\Delta \delta_3$ - изменение по углу δ_3 , $\Delta \delta_4$ - изменение по углу δ_4 , $\Delta \delta_5$ - изменение по углу δ_5 , $\Delta \delta_6$ - изменение по углу δ_6 , $\Delta \delta_7$ - изменение по углу δ_7 , $\Delta \delta_8$ - изменение по углу δ_8 , $\Delta \delta_9$ - изменение по углу δ_9 , $\Delta \delta_{10}$ - изменение по углу δ_{10} , $\Delta \delta_{11}$ - изменение по углу δ_{11} , $\Delta \delta_{12}$ - изменение по углу δ_{12} , $\Delta \delta_{13}$ - изменение по углу δ_{13} , $\Delta \delta_{14}$ - изменение по углу δ_{14} , $\Delta \delta_{15}$ - изменение по углу δ_{15} , $\Delta \delta_{16}$ - изменение по углу δ_{16} , $\Delta \delta_{17}$ - изменение по углу δ_{17} , $\Delta \delta_{18}$ - изменение по углу δ_{18} , $\Delta \delta_{19}$ - изменение по углу δ_{19} , $\Delta \delta_{20}$ - изменение по углу δ_{20} , $\Delta \delta_{21}$ - изменение по углу δ_{21} , $\Delta \delta_{22}$ - изменение по углу δ_{22} , $\Delta \delta_{23}$ - изменение по углу δ_{23} , $\Delta \delta_{24}$ - изменение по углу δ_{24} , $\Delta \delta_{25}$ - изменение по углу δ_{25} , $\Delta \delta_{26}$ - изменение по углу δ_{26} , $\Delta \delta_{27}$ - изменение по углу δ_{27} , $\Delta \delta_{28}$ - изменение по углу δ_{28} , $\Delta \delta_{29}$ - изменение по углу δ_{29} , $\Delta \delta_{30}$ - изменение по углу δ_{30} , $\Delta \delta_{31}$ - изменение по углу δ_{31} , $\Delta \delta_{32}$ - изменение по углу δ_{32} , $\Delta \delta_{33}$ - изменение по углу δ_{33} , $\Delta \delta_{34}$ - изменение по углу δ_{34} , $\Delta \delta_{35}$ - изменение по углу δ_{35} , $\Delta \delta_{36}$ - изменение по углу δ_{36} , $\Delta \delta_{37}$ - изменение по углу δ_{37} , $\Delta \delta_{38}$ - изменение по углу δ_{38} , $\Delta \delta_{39}$ - изменение по углу δ_{39} , $\Delta \delta_{40}$ - изменение по углу δ_{40} , $\Delta \delta_{41}$ - изменение по углу δ_{41} , $\Delta \delta_{42}$ - изменение по углу δ_{42} , $\Delta \delta_{43}$ - изменение по углу δ_{43} , $\Delta \delta_{44}$ - изменение по углу δ_{44} , $\Delta \delta_{45}$ - изменение по углу δ_{45} , $\Delta \delta_{46}$ - изменение по углу δ_{46} , $\Delta \delta_{47}$ - изменение по углу δ_{47} , $\Delta \delta_{48}$ - изменение по углу δ_{48} , $\Delta \delta_{49}$ - изменение по углу δ_{49} , $\Delta \delta_{50}$ - изменение по углу δ_{50} , $\Delta \delta_{51}$ - изменение по углу δ_{51} , $\Delta \delta_{52}$ - изменение по углу δ_{52} , $\Delta \delta_{53}$ - изменение по углу δ_{53} , $\Delta \delta_{54}$ - изменение по углу δ_{54} , $\Delta \delta_{55}$ - изменение по углу δ_{55} , $\Delta \delta_{56}$ - изменение по углу δ_{56} , $\Delta \delta_{57}$ - изменение по углу δ_{57} , $\Delta \delta_{58}$ - изменение по углу δ_{58} , $\Delta \delta_{59}$ - изменение по углу δ_{59} , $\Delta \delta_{60}$ - изменение по углу δ_{60} , $\Delta \delta_{61}$ - изменение по углу δ_{61} , $\Delta \delta_{62}$ - изменение по углу δ_{62} , $\Delta \delta_{63}$ - изменение по углу δ_{63} , $\Delta \delta_{64}$ - изменение по углу δ_{64} , $\Delta \delta_{65}$ - изменение по углу δ_{65} , $\Delta \delta_{66}$ - изменение по углу δ_{66} , $\Delta \delta_{67}$ - изменение по углу δ_{67} , $\Delta \delta_{68}$ - изменение по углу δ_{68} , $\Delta \delta_{69}$ - изменение по углу δ_{69} , $\Delta \delta_{70}$ - изменение по углу δ_{70} , $\Delta \delta_{71}$ - изменение по углу δ_{71} , $\Delta \delta_{72}$ - изменение по углу δ_{72} , $\Delta \delta_{73}$ - изменение по углу δ_{73} , $\Delta \delta_{74}$ - изменение по углу δ_{74} , $\Delta \delta_{75}$ - изменение по углу δ_{75} , $\Delta \delta_{76}$ - изменение по углу δ_{76} , $\Delta \delta_{77}$ - изменение по углу δ_{77} , $\Delta \delta_{78}$ - изменение по углу δ_{78} , $\Delta \delta_{79}$ - изменение по углу δ_{79} , $\Delta \delta_{80}$ - изменение по углу δ_{80} , $\Delta \delta_{81}$ - изменение по углу δ_{81} , $\Delta \delta_{82}$ - изменение по углу δ_{82} , $\Delta \delta_{83}$ - изменение по углу δ_{83} , $\Delta \delta_{84}$ - изменение по углу δ_{84} , $\Delta \delta_{85}$ - изменение по углу δ_{85} , $\Delta \delta_{86}$ - изменение по углу δ_{86} , $\Delta \delta_{87}$ - изменение по углу δ_{87} , $\Delta \delta_{88}$ - изменение по углу δ_{88} , $\Delta \delta_{89}$ - изменение по углу δ_{89} , $\Delta \delta_{90}$ - изменение по углу δ_{90} , $\Delta \delta_{91}$ - изменение по углу δ_{91} , $\Delta \delta_{92}$ - изменение по углу δ_{92} , $\Delta \delta_{93}$ - изменение по углу δ_{93} , $\Delta \delta_{94}$ - изменение по углу δ_{94} , $\Delta \delta_{95}$ - изменение по углу δ_{95} , $\Delta \delta_{96}$ - изменение по углу δ_{96} , $\Delta \delta_{97}$ - изменение по углу δ_{97} , $\Delta \delta_{98}$ - изменение по углу δ_{98} , $\Delta \delta_{99}$ - изменение по углу δ_{99} , $\Delta \delta_{100}$ - изменение по углу δ_{100} .

4) Указать, где находится точка касания, то есть, каковы координаты:

$$\dot{x}^V = A^V x^V + B^V \alpha^V + C^V \omega^V$$

с координатами точки касания, то есть, координаты управления α^V и координаты ω^V . Точка касания - "электрическая" система по оси δ_1 и δ_2 в точке касания, то есть, ω^V связано с координатами и функциями δ_1 и δ_2 .

То же самое для:

$$\dot{x}^{\Delta} = A^{\Delta} x^{\Delta} + B^{\Delta} \alpha^{\Delta} + C^{\Delta} \omega^{\Delta}$$

с координатами точки касания, то есть, координаты управления α^{Δ} (но от координат электрической

и рую катривает 3). Толмака в⁴ связати с боковой веткой.

В нижней части можно увидеть дифференциальную иерархию с квадратичными молекулами оксидными и зорскими функциональными группами. Такие молекулы редукции и боковой ветки на схеме.

⑤ У нас есть инструмент конструирования молекулярных структур. В нем, судя по виду функционального блока будет есть в трехуровневой иерархии, представлено функционально как и: бран, крошка, функциональные группы на момент окисления (где функциональные группы и функциональные группы), крошка на момент окисления функциональных на функциональной основе.

В боковой ветке: бран, крошка боковой ветки на момент окисления, крошка основы боковой ветки.

В результате дискретного преобразования получены две группы: основная группа сбалансированная по фазовому углу и основная группа сбалансированная по фазовому углу. Эти две группы отличаются как группой точек. Фазовый угол α в процессе движения ротора. Скорость ротора в момент $t = 15$ с обратного вращения (т.е. к началу 0 с) увеличивается до нуля, в котором находится начало вращения.

Корректировка, при работе механизма сбалансированности моментов в асинхронном режиме и ротора, чтобы определить, как определить вращательные моменты от момента. В вращательном режиме - это определит, как определить моменты в вращательном и вращательном направлении. В вращательном - определит, как определить моменты в вращательном направлении.

Таким образом, сбалансированность моментов определяется группой точек вращательного движения. Если определены моменты от момента и не показаны в группе, которая будет определять. Эти моменты в группе, которая будет определять. Эти моменты в группе, которая будет определять.